

پایش و تحلیل تطبیقی نقش خشکسالی هواشناسی بر تغییرات سطح ایستابی چاه‌های

پیزومتری دشت مرند

برومند صلاحی^۱، دانشیار اقلیم‌شناسی، گروه جغرافیا، دانشکده ادبیات و علوم انسانی، دانشگاه محقق اردبیلی، اردبیل، ایران.

مجید رضایی بنفشه درق، استاد اقلیم‌شناسی، دانشکده جغرافیا و برنامه‌ریزی، دانشگاه تبریز، تبریز، ایران.
عبدالرضا واعظی، استادیار زمین‌شناسی، گروه زمین‌شناسی، دانشکده زمین‌شناسی، دانشگاه تبریز، تبریز، ایران.
مجتبی فریدیور، دانشجوی دکتری اقلیم‌شناسی، گروه جغرافیا، دانشکده ادبیات و علوم انسانی، دانشگاه محقق اردبیلی، اردبیل، ایران.

پذیرش نهایی: ۱۳۹۶/۰۹/۲۳

دریافت مقاله: ۱۳۹۶/۰۴/۱۵

چکیده

در این پژوهش، دوره‌های متوالی خشکسالی هواشناسی و ژئوهیدرولوژیکی با استفاده از شاخص خشکسالی SPI و SWI در ۶ بازه زمانی (۶، ۹، ۱۲، ۱۸، ۲۴ و ۴۸ ماهه) در دشت مرند واقع در استان آذربایجان شرقی، بررسی شد. برای این منظور، از داده‌های هواشناسی (متوسط بارش ماهانه) ۷ ایستگاه باران‌سنجی در دوره آماری (۹۱-۱۳۵۹) و داده‌های ماهانه سطح آب ۲۳ چاه پیزومتری در دوره آماری (۹۰-۱۳۸۰) استفاده شد. نقشه‌های مربوطه با استفاده از نرم‌افزار Arc Gis و با روش کریجینگ تهیه و ترسیم شدند که به‌پهنه‌های درگیر خشکسالی در منطقه را نمایان ساخت. همچنین شدیدترین خشکسالی و فراوانی نسبی خشکسالی‌های هواشناسی و آب زیرزمینی در طول دوره آماری به دست آمد. نتایج بررسی مقادیر SPI نشان داد که خشکسالی هواشناسی از نظر مکانی دارای روند مشخصی نمی‌باشد در حالی که خشکسالی آب‌های زیرزمینی به طور تصادفی در منطقه رخ نداده و تمرکز آن در غرب آبخوان بیش از شرق آن بوده است. جهت بررسی اثرات خشکسالی بر افت سطح ایستابی، بهترین همبستگی بین آن‌ها، ۰/۷۲۰- با تأخیر زمانی ۵ ماهه به دست آمد که در سطح ۱ درصد معنی‌دار بوده و تأثیرپذیری منابع آب زیرزمینی را با یک تأخیر ۵ ماهه نمایان می‌سازد. همچنین نتایج بررسی داده‌های ماهانه سطح آب دشت مرند در دوره آماری (۹۰-۱۳۸۰) نشان داد که تراز آب زیرزمینی دشت دارای روند منفی بوده که با افت حدود ۲ متر مواجه بوده است.

واژگان کلیدی: خشکسالی هواشناسی، خشکسالی هیدرولوژیکی، شاخص SPI، شاخص SWI، دشت مرند.

مقدمه

خشکسالی یک پدیده طبیعی است که در ارتباط با فقدان منابع آب در دسترس در یک منطقه جغرافیایی بزرگ می‌باشد ممکن است در طول یک دوره زمانی طولانی رخ دهد (Roosi, ۲۰۰۰). خشکسالی نسبت به دیگر مخاطرات طبیعی مانند سیلکون‌ها و سیلاب‌ها به عنوان یک پدیده خاموش شناخته می‌شود (WMO, ۲۰۰۶). از جمله حوادث طبیعی که از نظر فراوانی و تعداد، بیش از سایر حوادث بر جمعیت‌های انسانی تأثیر داشته است، پدیده خشکسالی می‌باشد (Kogan, ۲۰۰۰)؛ محمد نیا قرایی و همکاران، (۱۳۷۹). از طرفی خسارات ناشی از پدیده خشکسالی به صورت خزنده بوده و کمتر به خسارات ساختاری منجر می‌شود، به همین دلیل امداد رسانی در هنگام وقوع این پدیده بسیار پیچیده‌تر از سایر حوادث طبیعی می‌باشد (Peters, ۲۰۰۳). بویان و همکاران (Bhuiyan, et.al., ۲۰۰۶) (به نقل از محمدی و همکاران، ۱۳۹۱) با بهره‌گیری از شاخص‌های بارش استاندارد، سطح آب استاندارد و شرایط پوشش گیاهی بر مبنای بر داده‌های زمینی و سنجش از دور، به بررسی وضعیت خشکسالی منطقه آراوالی^۱ هند پرداختند. نتایج این تحقیق نشان داد که سطح آب زیرزمین در دشت آراوالی از زمانی به زمان دیگر تغییر کرده و با جهت غربی و شرقی حوضه ارتباط دارد (محمدی و همکاران، ۱۳۹۱). اکرامی و همکاران (Ekrami, et.al., ۲۰۱۳) با مطالعه اثر خشکسالی اقلیمی بر منابع آب زیرزمینی به این نتیجه رسیدند که با افزایش پایه زمانی SPI همبستگی آن با GRI افزایش می‌یابد و تأخیر زمانی بین خشکسالی اقلیمی با آب‌شناختی در دشت یزد- اردکان یک تا دو سال است. ازین و همکاران (Ezzine, et.al., ۲۰۱۴) با به‌کارگیری شاخص بارش استاندارد، شاخص سطح آب استاندارد و شاخص استاندارد پوشش گیاهی^۲ به بررسی خشکسالی در منطقه نیمه‌خشک مدیترانه پرداختند. نتایج همبستگی خوبی بین SPI و SWI نشان داد. ساهو و همکاران (Sahoo, et.al., ۲۰۱۵) در تحقیقی به بررسی خشکسالی در دو ناحیه محروم موات^۳ و دهار^۴ در هندوستان پرداختند. نتایج این تحقیق دو دوره خشکسالی شدید در مناطق مذکور را در سال‌های ۲۰۰۲ و ۲۰۰۸ نشان می‌دهد. بوگدان و کاتارزینا (Bogdan and Katarzyna, ۲۰۱۷) در تحقیقی بر روی رودخانه ویستولا^۵ (مرکز لهستان) اثبات نمودند که خشکسالی هواشناسی با استفاده از شاخص SPI بر خشکسالی هیدرولوژیکی با استفاده از شاخص SWI تأثیر دارد.

در سطح کشور با توجه به رخداد خشکسالی، به‌عنوان ویژگی جدایی‌ناپذیر آب و هوای ایران، تأثیر این پدیده در آب‌های زیرزمینی در حوضه‌ها و دشت‌های مختلف بررسی شده است. محمدی و شمسی‌پور (۱۳۸۲) تأثیر خشکسالی‌ها را بر آب‌های زیرزمینی دشت‌های شمال همدان بررسی کرده‌اند. این تحقیق هم نشان می‌دهد که خشکسالی با تأخیر ۹ ماهه بر روی آب‌های زیرزمینی اثر می‌گذارد. احمدی آخورمه و همکاران (۱۳۹۴) به بررسی خشکسالی آب زیرزمینی در مرودشت استان فارس پرداختند. در این تحقیق از دو شاخص GRI و SWI استفاده شده است. نتایج به اثبات خشکسالی آب زیرزمینی در شمال و مرکز منطقه انجامیده است. بختیاری عنایت و همکاران (۱۳۹۴)، در تحقیقی به بررسی تأخیر زمانی آثار خشکسالی اقلیمی (SPI) بر خشکسالی آب‌شناختی (GRI) دشت هشتگرد پرداختند. نتایج این تحقیق نشان داده است که از نظر خشکسالی آب‌شناختی، پیرومترهای دشت هشتگرد در سه گروه متفاوت گروه‌بندی می‌شوند. کریمی و همکاران (۱۳۹۵) در پژوهشی به بررسی خشکسالی هواشناسی و هیدرولوژیکی در حوضه آبخیز قره‌سو پرداختند. در این

۱- Aravalli

۲- Index Vegetation Standard

۳- Mewat

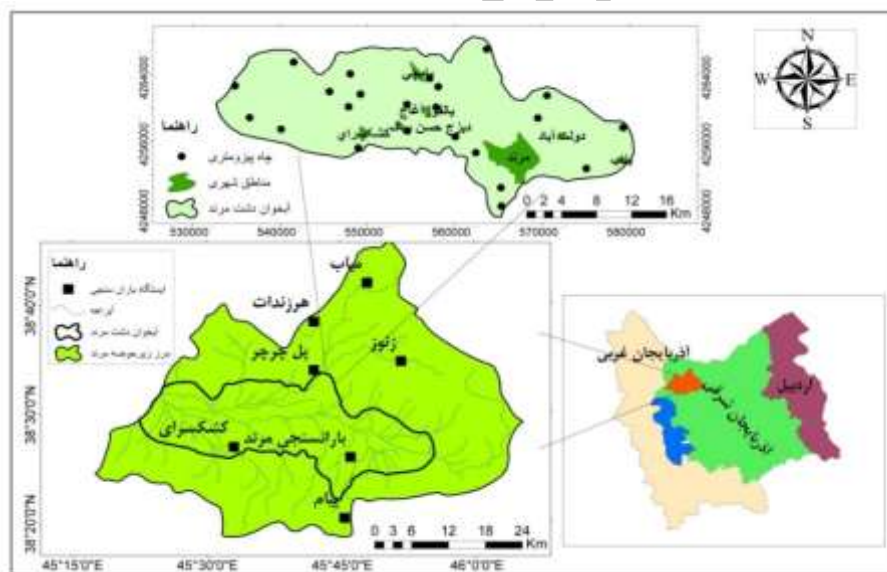
۴- Dhar

۵- Vistula

تحقیق از شاخص‌های RAI، SIAP، SDI و SWI استفاده شده است. نتایج این تحقیق نشان‌دهنده تأخیر یک تا دو ساله در خشکسالی هیدرولوژیکی منطقه دارد. زینالی و همکاران (۱۳۹۶) در تحقیقی به بررسی تأثیر خشکسالی هواشناسی بر خصوصیات کمی و کیفی آب‌های زیرزمینی دشت مرند در آذربایجان شرقی پرداختند. نتایج این تحقیق نشان داده است که خشکسالی و کاهش بارندگی باعث افزایش برداشت از سطح آبخوان دشت مرند شده است. این روند بر میزان شاخص‌های کیفی آب مانند EC, SAR, CL تأثیر منفی گذاشته که باعث قرار گرفتن کیفیت آب دشت مرند در کلاس خیلی شور برای مصارف کشاورزی شده است. در تحقیق حاضر سعی شده است دوره‌های خشکسالی هواشناسی و آب زیرزمینی را در بازه‌های زمانی ماهانه و سالانه و همچنین پهنه‌های درگیر خشکسالی در دشت مرند را شناسایی کرده و تأخیر زمانی بین دو شاخص خشکسالی موردنظر محاسبه گردد. لذا می‌طلبد در این زمینه تحقیقات گسترده‌تری صورت گرفته تا زوایای تازه‌ای از پایش خشکسالی و اثرات آن بر کمیت منابع آب‌های زیرزمینی آشکار گردد.

داده‌ها و روش کار

منطقه مورد مطالعه در این تحقیق دشت مرند با مختصات ۴۵ درجه و ۱۵ تا ۵۰ دقیقه طول شرقی و ۳۷ درجه و ۷ دقیقه تا ۳۸ درجه و ۵۶ دقیقه عرض شمالی، به همراه ۷ ایستگاه باران‌سنجی در زیر حوضه آبریزی به همین نام در شمال غرب ایران و در ۶۰ کیلومتری شمال تبریز می‌باشد. وسعت کل زیرحوضه مرند ۱۹۴۱/۵۴ کیلومترمربع می‌باشد که حدوداً ۵۱۷/۴۲ کیلومترمربع آن را دشت (پهنه آبرفتی) مرند تشکیل می‌دهد. دو رودخانه اصلی این زیرحوضه؛ زیلبرچای و زنوزچای می‌باشند که پس از اتصال به رودخانه قطور چای و سپس ارس، به حوضه آبریز دریای خزر می‌ریزند.



شکل ۱: نقشه منطقه مورد مطالعه، محدوده حوضه و موقعیت ایستگاه‌ها و چاه‌های پیژومتری

در این تحقیق از داده‌های هواشناسی (متوسط بارش ماهانه) ۷ ایستگاه باران‌سنجی از سازمان هواشناسی آذربایجان شرقی در دوره آماری (۹۱-۱۳۵۹)، داده‌های ماهانه سطح آب ۲۳ چاه پیژومتری از شرکت آب منطقه‌ای در دوره آماری (۹۰-۱۳۸۰) تهیه و پس از مرتب کردن داده‌ها در محیط Excel، نواقص آماری را با استفاده از رگرسیون خطی در محیط نرم‌افزار Minitab را برطرف و آماده تحلیل گردید (مشخصات ایستگاه‌ها و همچنین شدیدترین خشکسالی‌ها در جداول ۲ و ۳).

شاخص بارندگی استاندارد شده (SPI) توسط مک کی و همکاران (McKee, et al., ۱۹۹۳, ۱۹۹۵) ارائه شد. این شاخص برای بازه‌های زمانی مختلف قابل محاسبه است و جهت ارائه هشدار و کمک به ارزیابی شدت خشکسالی اهمیت زیادی دارد. با توجه به اینکه آب‌های زیرزمینی و جریان آب‌های سطحی در ایجاد نابهنجاری‌های درازمدت در بارش مؤثر می‌باشد، لذا شاخص SPI اساساً برای بازه‌های زمانی ۳، ۶، ۹، ۱۲، ۱۸، ۲۴ و ۴۸ ماهه محاسبه می‌شود. نمایه SPI به‌عنوان مناسب‌ترین نمایه برای تحلیل خشکسالی و همچنین ترسالی به‌ویژه تحلیل‌های مکانی شناخته می‌شود (رضیئی و همکاران، ۱۳۸۶: ۸۵). مقادیر مثبت بیانگر بارش بیشتر از مقدار متوسط و مقادیر منفی بیانگر بارش کمتر از مقدار متوسط بارش می‌باشد و چون شاخص SPI نرمال است اقلیم خشک و مرطوب را می‌توان با یک روش نشان داد (ساری، ۱۳۹۰: ۷۶). این مقیاس‌های زمانی متفاوت، اثرات ویژه‌ی خشکسالی را بر روی قابلیت دسترسی به منابع آبی مختلف بیان می‌کند و دقت محاسبات را بالا می‌برد. شاخص SPI در مطالعه تأثیرات کمبود بارش بر روی آب‌های زیرزمینی، ذخایر و منابع آب سطحی، رطوبت خاک و جریان آبراهه‌ها، کارایی مناسبی دارد (قلی زاده، ۱۳۸۳: ۸۲). به‌صورت خلاصه معادله محاسباتی این شاخص به‌صورت زیر می‌باشد:

$$SPI = \frac{X_{ij} - X_{im}}{\sigma} \quad (1)$$

در رابطه بالا σ انحراف معیار بوده و X_{ij} بارندگی فصلی در ایستگاه بارندگی i با j تعداد مشاهده، X_{im} میانگین درازمدت بارندگی است. در ادامه پنج طبقه از جدول شاخص SPI اشاره شده است (جدول ۱). جهت ارزیابی دوره‌های خشکسالی در دشت مرند از شاخص سطح آب استاندارد شده (SWI) استفاده شد. شاخص سطح آب استاندارد شده توسط بویان و همکاران (Bhuiyan, et al., ۲۰۰۶) ارائه شده و هدف از آن بررسی نوسانات و آنومالی‌های سطح آب زیرزمینی بوده است. معادله محاسباتی این شاخص به‌صورت زیر می‌باشد:

$$SWI = \frac{W_{ij} - W_{im}}{\sigma} \quad (2)$$

در این رابطه همانند رابطه بارش استاندارد شده σ انحراف معیار جامعه آماری مورد تحلیل می‌باشد و W_{ij} عبارت است از متوسط فصلی سطح آب در چاه مورد مطالعه i با j تعداد مشاهده، W_{im} عبارت از میانگین درازمدت است. جدول ۱ شاخص‌های SPI و SWI را در پنج طبقه نشان می‌دهد.

جدول ۱: طبقه‌بندی شدت شاخص‌های SPI و SWI

مقدار عددی SWI	مقدار عددی SPI	طبقه خشکسالی
≥ 2	≤ -2	خشکسالی بسیار شدید
۱/۵ تا ۱/۹۹	-۱/۵ تا -۱/۹۹	خشکسالی شدید
۱ تا ۱/۴۹	-۱ تا -۱/۴۹	خشکسالی متوسط
۰ تا ۰/۹۹	۰ تا -۰/۹۹	خشکسالی ملایم
< 0	< 0	بدون خشکسالی

یکی از موارد قابل بررسی در شاخص‌های SPI و SWI، محاسبه تداوم و فراوانی مطلق خشکسالی‌ها می‌باشد. منظور از مدت یا تداوم خشکسالی، ماه‌های متوالی با مقادیر منفی SPI و مثبت SWI می‌باشد. در تحقیق حاضر به منظور بررسی تداوم‌های شدید چه از نظر طول و چه از نظر بزرگی آن، تعداد ماه‌های مواجه با خشکسالی یا مقادیر منفی SPI و مثبت SWI محاسبه و بزرگی آن تعیین گردید. فراوانی مطلق خشکسالی یکی دیگر از ویژگی‌های مورد بررسی در این گونه مطالعات می‌باشد. این ویژگی عبارت از تعداد ماه‌های مواجه با خشکسالی در طول مدت آماری مورد تحقیق می‌باشد. همچنین از تقسیم ماه‌های دچار خشکسالی بر کل ماه‌های مورد مطالعه فراوانی نسبی خشکسالی در هر ایستگاه به دست می‌آید.

به منظور بررسی وابستگی سطح آب زیرزمینی در دشت مرند و شاخص خشکسالی هواشناسی در منطقه مورد مطالعه با استفاده از روش همبستگی پیرسون در محیط نرم‌افزار SPSS ۲۲ استفاده گردید. به همین منظور مقادیر SPI ۶ تا ۴۸ ماهه با مقادیر SWI در همین بازه زمانی به طور هم‌زمان و در تأخیرهای ۱ تا ۱۲ ماهه با استفاده از ضریب همبستگی پیرسون که مبتنی بر کوواریانس دو متغیر و انحراف معیار آن‌ها تنظیم شده است، در سطوح معنی‌داری ۱ و ۵ درصد با استفاده از رابطه زیر مورد بررسی قرار گرفت (Khan et al, ۲۰۰۸) (رابطه ۳):

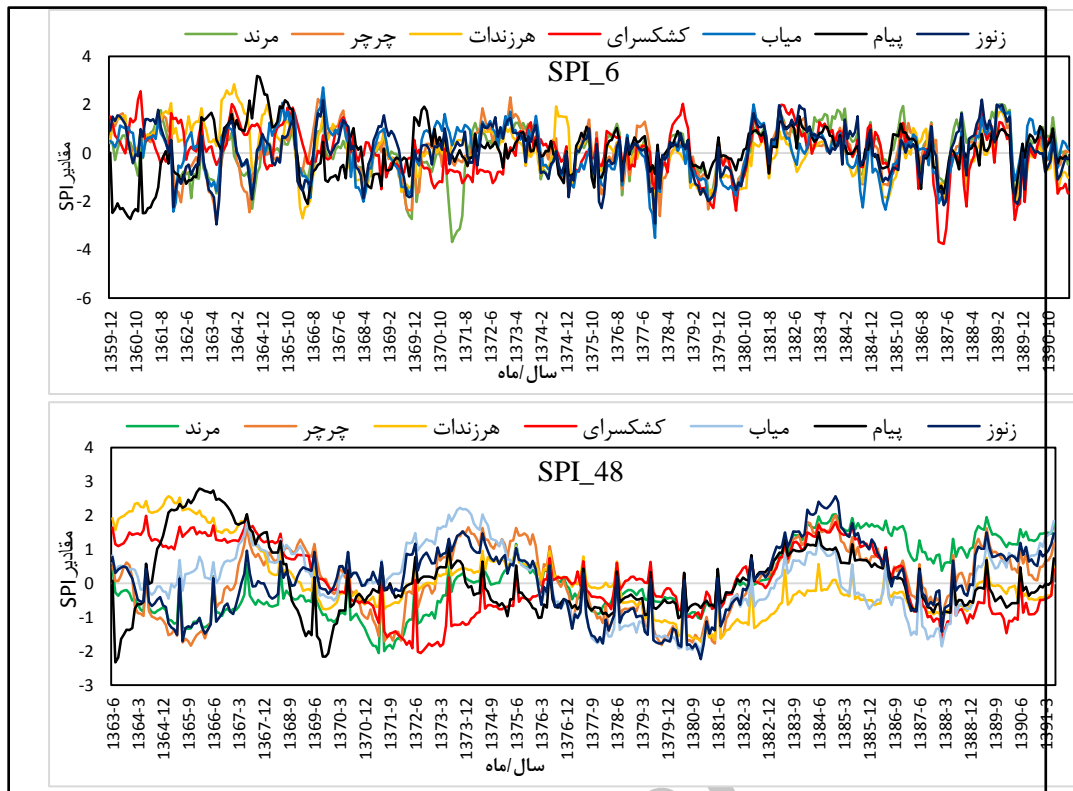
$$p_{xy} = \frac{\text{COV}(x,y)}{\sigma_x \sigma_y} \quad (3)$$

در این رابطه p_{xy} : ضریب همبستگی بین شاخص بارش استاندارد شده و سطح آب استاندارد شده؛ X : مقدار بارش استاندارد در یک ماه خاص و Y : سطح ایستایی در همان ماه است. برای محاسبه شاخص‌های خشکسالی هواشناسی و آب زیرزمینی از نرم‌افزار DIP^۱ استفاده شد. جهت بررسی سری زمانی شاخص‌ها و همچنین انجام تحلیل‌های آماری از نرم‌افزارهای Minitab و Excel و همچنین افزونه XLStat استفاده شد. ادامه پس از مشخص کردن دوره‌های خشکسالی هواشناسی و آب زیرزمینی به منظور فرایند درون‌یابی در نرم‌افزار Arc Gis، از عملگر Geostatistical Analyst استفاده شد.

شرح و تفسیر نتایج

به منظور تشخیص دوره‌های خشکسالی، از شاخص SPI در بازه‌های زمانی ۶، ۹، ۱۲، ۲۴ و ۴۸ ماهه برای ایستگاه‌های منتخب در منطقه استفاده شد. شکل ۲ نتایج شاخص خشکسالی SPI را در مقیاس ۶ ماهه به عنوان مقیاس کوتاه‌مدت و ۴۸ ماهه، به عنوان مقیاس بلندمدت را نشان می‌دهد.

۱ -Drought Indices Pakage

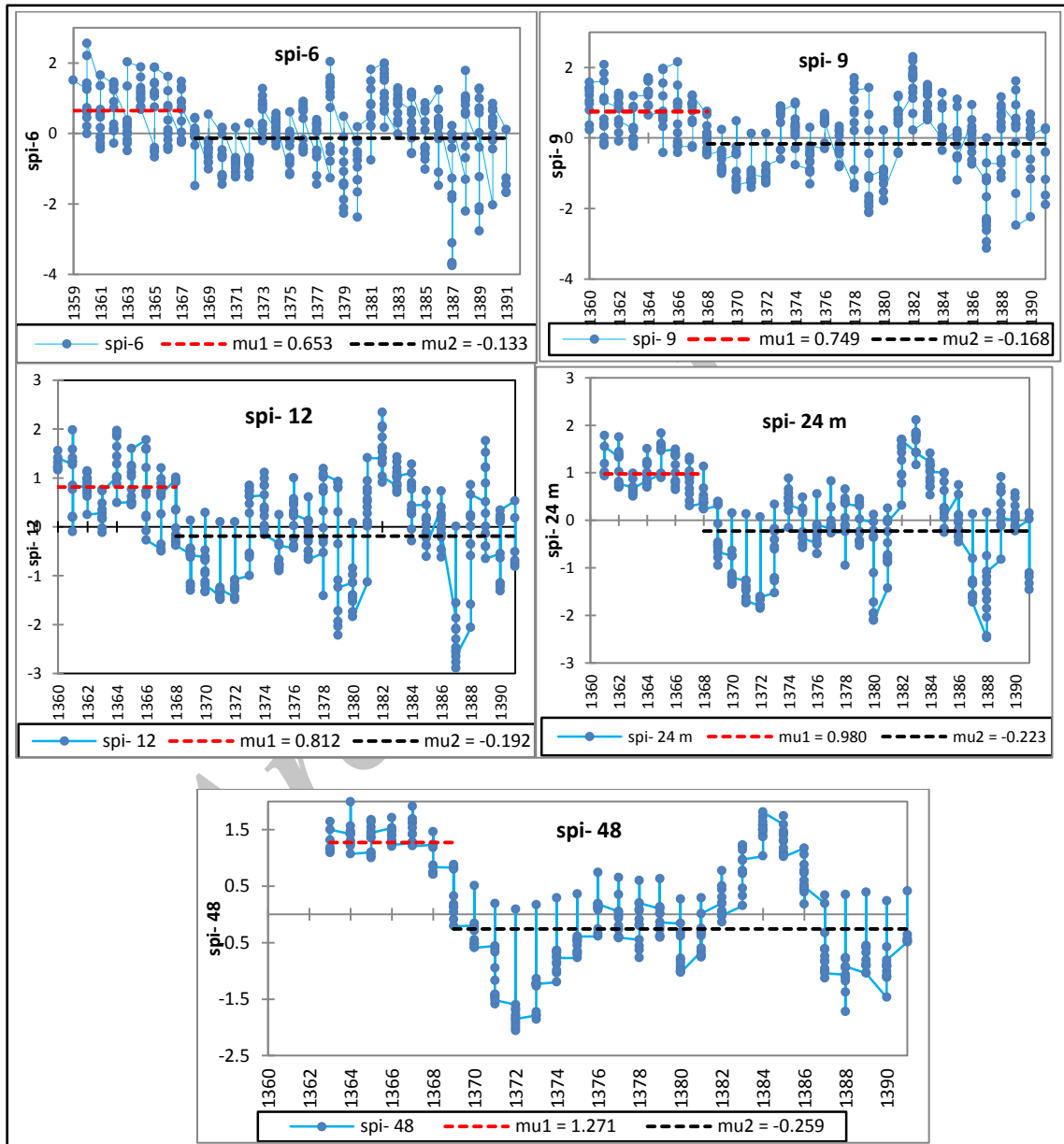


شکل ۲: دوره‌های خشکسالی و ترسالی در مقیاس ۶ و ۴۸ ماهه در ایستگاه‌های منتخب

خشکسالی در مقیاس کوتاه‌مدت دارای نوسان و شدت‌های بالا می‌باشد و چنانچه خشکسالی تداوم داشته باشد در مقیاس‌های بلندمدت با شدت کم و تداوم زیاد خود را نشان می‌دهد. در این پژوهش با توجه به بازه زمانی در دسترس داده‌های سطح آب زیرزمینی در دشت مرند و با توجه به هدف این مقاله، به تفسیر نتایج شاخص SPI از سال ۱۳۸۰ تا پایان دوره آماری پرداخته می‌شود. همان‌طوری که در شکل ۲ نیز قابل مشاهده است شدیدترین خشکسالی در مقیاس ۶ ماهه در ایستگاه کشکسرای در مردادماه ۱۳۸۷ اتفاق افتاده است ($SPI = -3,76$) و اگر شروع این خشکسالی را از مهرماه ۱۳۸۶ یعنی زمانی که مقادیر SPI منفی شده‌اند، در نظر گرفته شود تا مردادماه ۱۳۸۸ همزمان با مثبت شدن مقادیر SPI به طول انجامیده است که در مجموع طول دوره خشکسالی ۲۳ ماه محاسبه شده است. در مقیاس ۴۸ ماهه مقدار شدت خشکسالی در این ایستگاه کم و به تداوم دوره افزوده شده است به طوری که خشکسالی از فروردین‌ماه ۱۳۸۷ شروع شده و تا پایان دوره آماری به مدت ۵۳ ماه یعنی تا شهریورماه ۱۳۹۱ ادامه داشته است.

در ادامه به منظور بررسی سری زمانی خشکسالی، ایستگاه کشکسرای به‌عنوان نمونه بررسی می‌گردد (شکل ۳) و در جدول ۲ شدیدترین خشکسالی و فراوانی نسبی خشکسالی برای تمامی ایستگاه قابل‌مشاهده می‌باشد. با توجه به نتایج شکل ۳ مشاهده می‌شود که یک دوره ترسالی متوسط از ابتدای دوره آماری تا سال‌های ۷۰-۶۹ در منطقه حاکم بود است، به طوری که در انتهای این دوره با کاهش ناگهانی بارندگی (سال‌های ۷۰-۶۹)، یک دوره کم بارشی تا پایان سری زمانی مورد مطالعه شکل گرفته است. با توجه به نتایج SPI حتی بارندگی‌های سال‌های ۱۳۸۲ تا ۱۳۸۴ نیز این روند کم بارشی و را نتوانسته‌اند جبران کنند. چنانچه نتایج سری زمانی شاخص SPI در ایستگاه کشکسرای را به دو دوره ترسالی و خشکسالی تقسیم نماییم، مشاهده می‌شود که در مقیاس‌های زمانی کوتاه‌مدت و بلندمدت ۶ و ۴۸ ماهه مقدار میانگین این شاخص برای دوره ترسالی (۱۳۵۹ تا ۱۳۶۹) $SPI = 0,653$ و $SPI = 1,271$ و برای دوره کم بارشی (۱۳۷۰ تا ۱۳۹۰)

میانگین شاخص SPI در کل دوره در مقیاس زمانی ۶ ماهه برابر با $0/133-$ و در مقیاس زمانی ۴۸ ماهه برابر با $0/259-$ می‌باشد. با توجه به نتایج شکل ۳ هرچقدر از بازه زمانی ۶ ماهه به بازه زمانی ۴۸ ماهه نزدیک شویم بر میزان میانگین شاخص SPI افزوده شده به طوری که می‌توان چنین نتیجه گرفت که عدد میانگین در مقیاس‌های زمانی بلندمدت حاصل جمع مقادیر SPI در مقیاس‌های زمانی کوتاه‌تر است که ممکن است بالاتر و یا پایین‌تر از نرمال قرار بگیرند. به‌طور کلی هرچقدر بازه زمانی خشکسالی افزایش یابد، تعداد خشکسالی‌ها کم و بر تداوم آن‌ها افزوده می‌شود. تداوم خشکسالی در بازه‌های زمانی بلندمدت، برای بررسی اثرات خشکسالی بر منابع آب و نوسان سطح ایستابی چاه‌های پی‌زومتری کاربرد دارد.

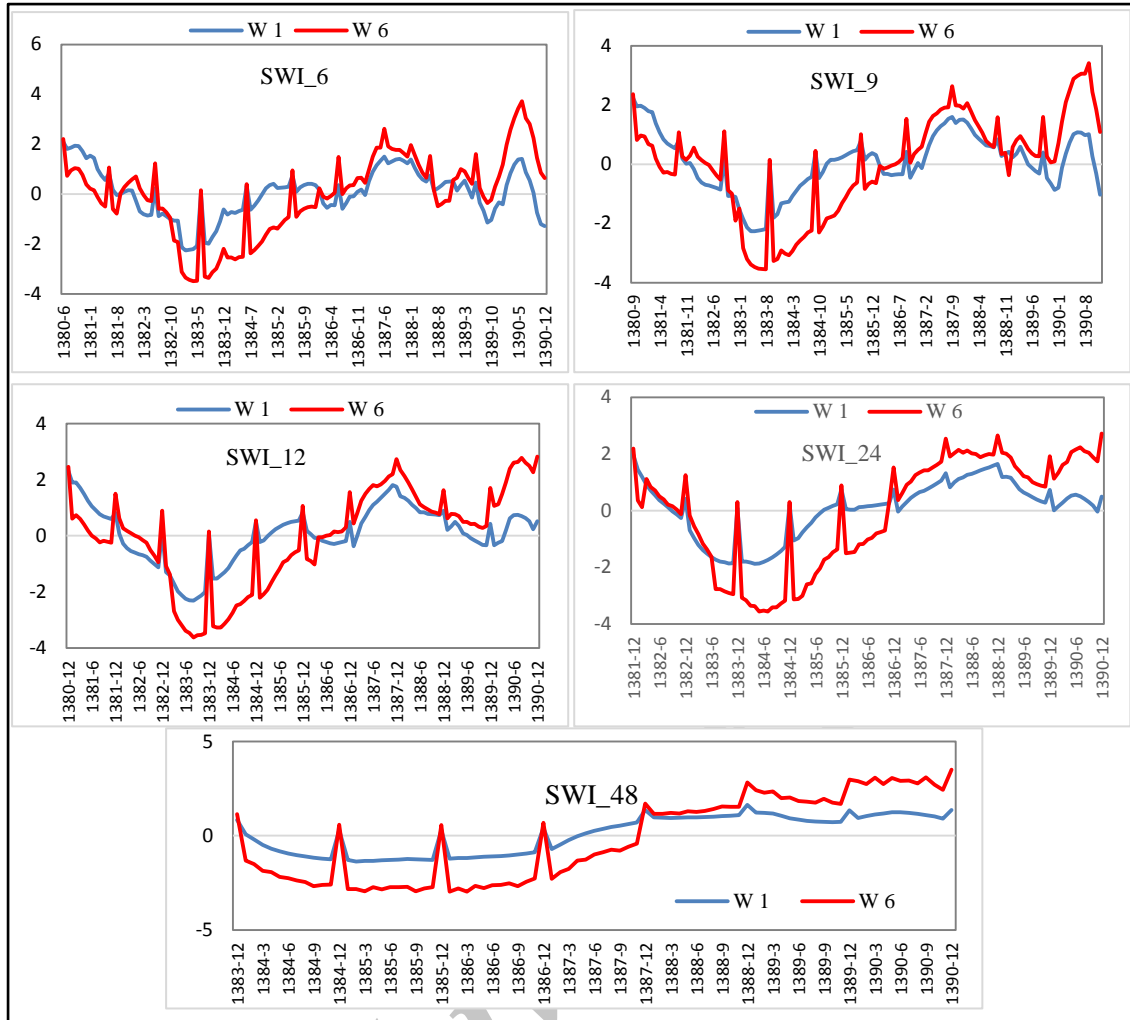


شکل ۳: وضعیت خشکسالی‌ها و ترسالی‌های ایستگاه نمونه (کشکسرای) در مقیاس‌های زمانی مختلف

جدول ۲: شدیدترین مقدار مشاهده شده و فراوانی نسبی خشکسالی های هواشناسی در منطقه

نام ایستگاه	ویژگی های خشکسالی	مقیاس های زمانی خشکسالی هواشناسی (ماهانه)					
		۶	۹	۱۲	۱۸	۲۴	۴۸
پل چرچر	شدیدترین مقدار SPI	-۳۰۰۲	-۲۰۸۴	-۲۰۷۳	-۲۰۳۷	-۲۰۲۱	-۱۰۸۴
	ماه/سال	بهمن ماه ۱۳۷۷	اسفندماه ۱۳۶۹	فروردین ماه ۱۳۷۰	تیرماه ۱۳۶۳	فروردین ماه ۱۳۷۰	دی ماه ۱۳۶۵
	درصد فراوانی نسبی	۴۳	۴۶	۴۸	۴۹	۴۹	۴۵
پیام	شدیدترین مقدار SPI	-۲۰۷۳	-۳۰۰۵	-۳۰۲۷	-۳۰۲۶	-۳۰۱۳	-۲۰۲۳
	ماه/سال	آبان ماه ۱۳۶۰	اسفندماه ۱۳۶۰	اردیبهشت ماه ۱۳۶۱	شهریور ماه ۱۳۶۱	مهرماه ۱۳۶۱	مهرماه ۱۳۶۳
	درصد فراوانی نسبی	۴۴	۴۵	۴۶	۴۴	۴۹	۵۶
زنوز	شدیدترین مقدار SPI	-۲۰۹۵	-۲۰۴۱	-۲۰۳۸	-۲۰۳۹	-۲۰۴۴	-۲۰۲۴
	ماه/سال	شهریور ماه ۱۳۶۳	دی ماه ۱۳۷۹	بهمن ماه ۱۳۷۹	مهرماه ۱۳۸۰	اسفندماه ۱۳۸۰	اسفندماه ۱۳۸۰
	درصد فراوانی نسبی	۴۲	۴۵	۴۹	۴۹	۴۹	۴۵
کشکسرای	شدیدترین مقدار SPI	-۳۰۷۶	-۳۰۱۳	-۲۰۸۹	-۲۰۴	-۲۰۴۸	-۲۰۰۶
	ماه/سال	مردادماه ۱۳۸۷	شهریور ماه ۱۳۸۷	دی ماه ۱۳۸۷	بهمن ماه ۱۳۸۷	فروردین ماه ۱۳۸۸	آبان ماه ۱۳۷۲
	درصد فراوانی نسبی	۴۵	۴۵	۴۲	۴۲	۴۴	۴۹
مرند	شدیدترین مقدار SPI	-۳۰۶۸	-۳۰۴۸	-۲۰۴۹	-۲۰۱۱	-۲۰۴۹	-۲۰۰۶
	ماه/سال	خردادماه ۱۳۷۱	شهریور ماه ۱۳۷۱	خردادماه ۱۳۷۱	آذرماه ۱۳۷۱	خردادماه ۱۳۷۱	مردادماه ۱۳۷۱
	درصد فراوانی نسبی	۴۱	۴۵	۴۸	۴۸	۵۱	۵۲
میاب	شدیدترین مقدار SPI	-۳۰۵۱	-۲۰۳۱	-۲۰۲۴	-۲۰۵۴	-۲۰۳۶	-۲۰۰۳
	ماه/سال	بهمن ماه ۱۳۷۷	بهمن ماه ۱۳۷۹	اردیبهشت ماه ۱۳۸۰	آبان ماه ۱۳۸۰	آبان ماه ۱۳۸۰	اسفندماه ۱۳۸۰
	درصد فراوانی نسبی	۴۲	۴۲	۴۳	۴۸	۴۵	۴۳
هرزندات	شدیدترین مقدار SPI	-۲۰۷	-۲۰۱۹	-۲۰۲	-۲۰۲۲	-۲۰۳۲	-۱۰۷۳
	ماه/سال	تیرماه ۱۳۶۶	مهرماه ۱۳۶۶	آذرماه ۱۳۷۹	مردادماه ۱۳۸۰	آبان ماه ۱۳۸۰	اسفندماه ۱۳۸۰
	درصد فراوانی نسبی	۴۳	۴۶	۴۹	۴۹	۴۸	۵۶

در این بخش به منظور بررسی نوسان سطح ایستابی چاه های پیژومتری از شاخص SWI در بازه های زمانی ۶، ۹، ۱۲، ۲۴ و ۴۸ ماهه استفاده شد. شکل ۴ نتایج سری زمانی SWI برای پیژومتر قره قوم (W ۱) به عنوان نماینده ورودی دشت و پیژومتر غرب مرند (W ۶) به عنوان نماینده خروجی دشت و جدول ۳ شدیدترین خشکسالی و فراوانی نسبی خشکسالی در دشت مرند را نشان می دهند. همان طور که در سری زمانی SWI قابل مشاهده است، در بازه های زمانی کوتاه مدت نوسان مقادیر خشکسالی زیاد بوده ولی در بازه های زمانی بلند مدت با افزایش تداوم مقادیر SWI می توان زمان شروع افزایش برداشت از سفره های آب زیرزمینی را تشخیص داد. به طوری که در سال های ۱۳۸۲ تا ۱۳۸۴ که میزان بارش در منطقه مناسب بوده است، سری زمانی شاخص SWI دارای مقادیر منفی بوده که نشان دهنده کاهش برداشت و یا پایداری سطح ایستابی است ولی با شروع خشکسالی هواشناسی از سال ۱۳۸۵ و تداوم آن تا پایان دوره آماری مشاهده می شود که افزایش برداشت از سفره های آب زیرزمینی شدت یافته و در بازه های زمانی ۶ تا ۴۸ ماهه این روند افزایش برداشت کاملاً مشهود می باشد.



شکل ۴: وضعیت خشکسالی‌ها و ترسالی‌های پیژومتر نمونه (قره قوم) در مقیاس‌های زمانی مختلف

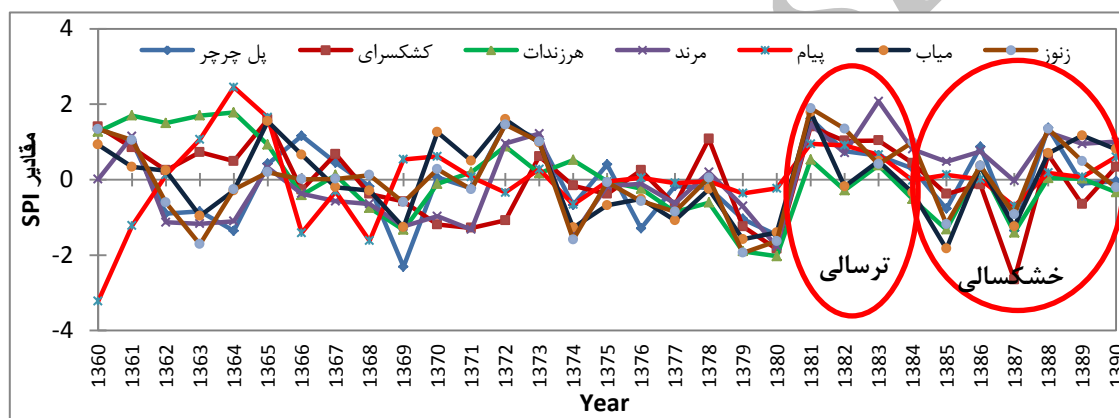
جدول ۳: شدیدترین مقدار مشاهده‌شده و فراوانی نسبی خشکسالی آب‌های زیرزمینی در منطقه

مقیاس‌های زمانی خشکسالی آب‌های زیرزمینی (ماهانه)						ویژگی‌های خشکسالی	نام ایستگاه و کد چاه
۴۸	۲۴	۱۸	۱۲	۹	۶		
۱.۶۲	۱.۹۶	۲	۲.۳۱	۲.۲۴	۲.۲۵	شدیدترین مقدار SWI	قره قوم W ۱
اسفندماه ۱۳۸۸	اسفندماه ۱۳۸۱	شهریورماه ۱۳۸۱	اسفندماه ۱۳۸۰	آذرماه ۱۳۸۰	شهریورماه ۱۳۸۰	ماه‌سال	
۵۸	۶۹	۵۷	۵۶	۵۷	۵۹	درصد فراوانی نسبی	کندلج W ۲
۱.۸۳	۱.۹۵	۱.۹۷	۲.۴۴	۲.۲۴	۲.۲۵	شدیدترین مقدار SWI	
اسفندماه ۱۳۹۰	اسفندماه ۱۳۸۱	شهریورماه ۱۳۸۱	اسفندماه ۱۳۸۰	شهریورماه ۱۳۸۰	شهریورماه ۱۳۸۰	ماه‌سال	
۵۹	۵۹	۵۷	۵۶	۵۲	۵۳	درصد فراوانی نسبی	اسدآغی W ۳
۲.۴۸	۲.۲۱	۱.۹۶	۲.۱۵	۲.۰۷	۱.۹۴	شدیدترین مقدار SWI	
اسفندماه ۱۳۹۰	اسفندماه ۱۳۹۰	اسفندماه ۱۳۹۰	اسفندماه ۱۳۹۰	آذرماه ۱۳۹۰	دی‌ماه ۱۳۹۰	ماه‌سال	
۵۱	۵۱	۵۲	۵۵	۵۳	۵۰	درصد فراوانی نسبی	بهرام W ۴
۲.۲۱	۲.۲۱	۲.۷۳	۲.۴۴	۲.۷۱	۲.۸۷	شدیدترین مقدار SWI	
بهمن‌ماه ۱۳۸۲	بهمن‌ماه ۱۳۸۲	تیرماه ۱۳۸۲	فروردین‌ماه ۱۳۸۲	بهمن‌ماه ۱۳۸۱	اسفندماه ۱۳۸۱	ماه‌سال	
۶۶	۵۱	۵۱	۵۲	۵۳	۵۰	درصد فراوانی نسبی	کشکسرای W ۵
۲.۴۶	۲.۴۳	۲.۰۱	۲.۲۱	۲.۲۴	۲.۴۴	شدیدترین مقدار SWI	
اسفندماه ۱۳۹۰	مردادماه ۱۳۹۰	تیرماه ۱۳۹۰	اردیبهشت‌ماه ۱۳۸۹	فروردین‌ماه ۱۳۸۹	مردادماه ۱۳۹۰	ماه‌سال	
۴۰	۶۴	۴۵	۴۶	۴۶	۵۰	درصد فراوانی نسبی	غرب مرند ۱ W ۶
۲.۱۲	۲.۲۳	۲.۰۶	۲.۳۱	۲.۳۹	۲.۳۱	شدیدترین مقدار SWI	
اسفندماه ۱۳۹۰	اسفندماه ۱۳۹۰	شهریورماه ۱۳۹۰	اسفندماه ۱۳۹۰	آذرماه ۱۳۹۰	شهریورماه ۱۳۹۰	ماه‌سال	
۴۸	۶۴	۶۵	۶۳	۶۲	۵۹	درصد فراوانی نسبی	

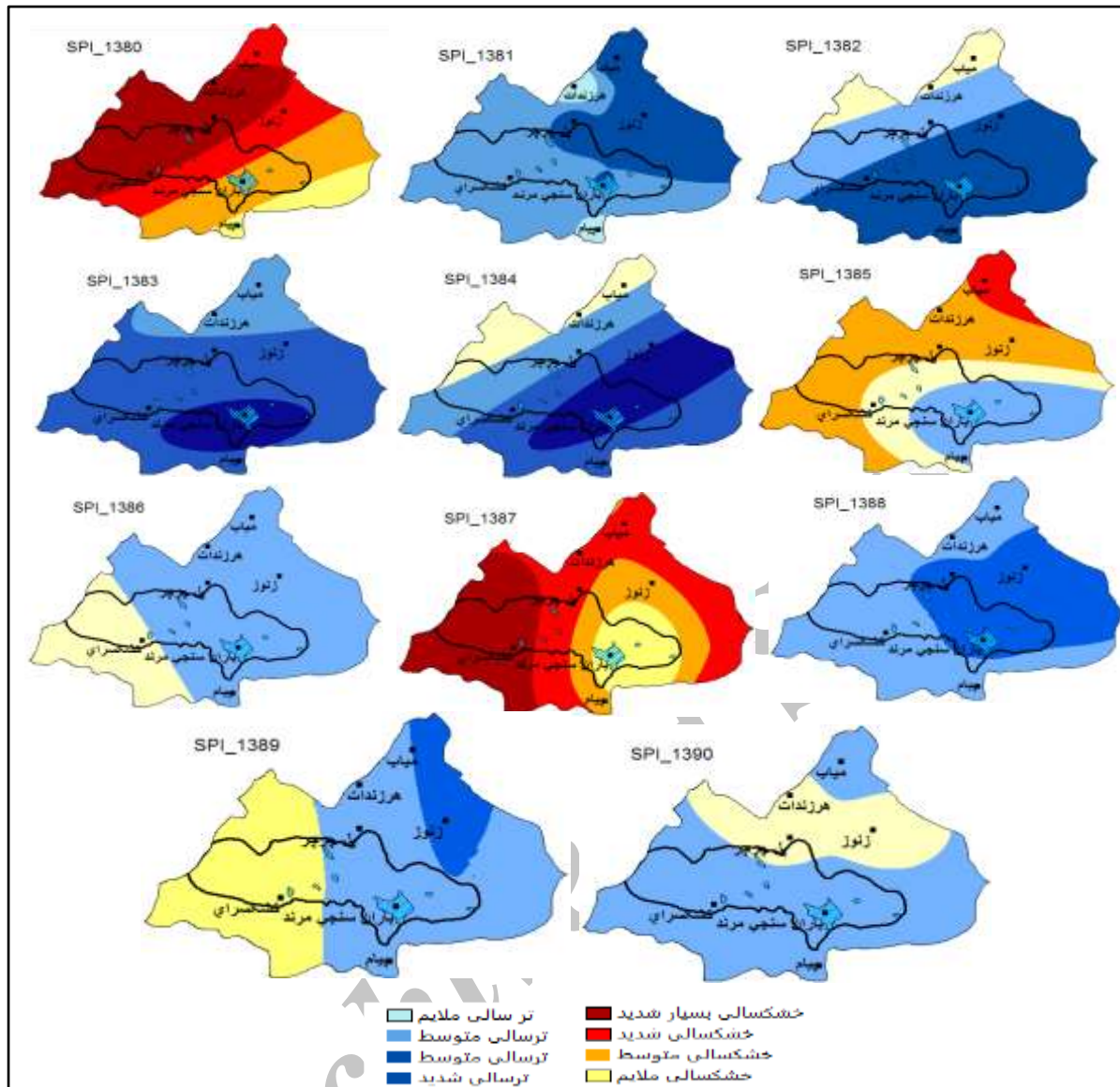
ادامه جدول ۳: شدیدترین مقدار مشاهده شده و فراوانی نسبی خشکسالی آب‌های زیرزمینی در منطقه

مقیاس‌های زمانی خشکسالی آب‌های زیرزمینی (ماهانه)						ویژگی‌های خشکسالی	۴.۵
۶	۹	۱۲	۱۸	۲۴	۴۸		
۱.۹۶	۱.۹۷	۲	۱.۹۸	۱.۹۹	۱.۹۳	شدیدترین مقدار SWI	حسین بیگ
شهریورماه ۱۳۸۲	آذرماه ۱۳۸۲	اسفندماه ۱۳۸۱	شهریورماه ۱۳۸۱	اسفندماه ۱۳۸۲	اسفندماه ۱۳۸۲	ماه‌اسال	W ۷
درصد فراوانی نسبی	۴۶	۴۵	۴۵	۴۶	۴۸		
۱.۷۵	۱.۷۲	۱.۷۲	۱.۸۴	۱.۸۴	۱.۹	شدیدترین مقدار SWI	غرب مرند ۲
شهریورماه ۱۳۹۰	آذرماه ۱۳۹۰	اسفندماه ۱۳۹۰	شهریورماه ۱۳۹۰	اسفندماه ۱۳۹۰	اسفندماه ۱۳۹۰	ماه‌اسال	W ۸
درصد فراوانی نسبی	۵۷	۵۶	۵۵	۵۲	۵۲		
۲.۳	۲.۳۷	۲.۲۹	۲.۱۶	۲.۵۷	۲.۰۹	شدیدترین مقدار SWI	غرب ابرغان
شهریورماه ۱۳۸۱	ایان ماه ۱۳۸۱	آذرماه ۱۳۸۱	اسفندماه ۱۳۸۱	اسفندماه ۱۳۸۱	اسفندماه ۱۳۸۲	ماه‌اسال	W ۹
درصد فراوانی نسبی	۵۴	۵۱	۵۱	۴۷	۵۲		
۱.۲۳	۱.۴	۱.۳۹	۱.۴۸	۱.۴۵	۱.۵۹	شدیدترین مقدار SWI	دولت‌آباد
شهریورماه ۱۳۸۹	آذرماه ۱۳۸۹	اسفندماه ۱۳۸۹	شهریورماه ۱۳۹۰	اسفندماه ۱۳۹۰	اسفندماه ۱۳۹۰	ماه‌اسال	W ۱۰
درصد فراوانی نسبی	۶۱	۵۱	۶۱	۶۰	۶۱		
۲.۵۱	۲.۴۷	۲.۴۲	۲.۵۱	۲.۴۶	۲.۳۴	شدیدترین مقدار SWI	قرمزی قشلاق
شهریورماه ۱۳۹۰	آذرماه ۱۳۹۰	اسفندماه ۱۳۹۰	شهریورماه ۱۳۹۰	اسفندماه ۱۳۹۰	اسفندماه ۱۳۹۰	ماه‌اسال	W ۱۱
درصد فراوانی نسبی	۴۶	۴۴	۴۵	۴۷	۴۸		
۲.۶۱	۲.۶۹	۲.۶۶	۲.۵۹	۲.۶۷	۲.۶۶	شدیدترین مقدار SWI	یالقون آغاج
شهریورماه ۱۳۹۰	آذرماه ۱۳۹۰	اسفندماه ۱۳۹۰	پهن‌ماه ۱۳۹۰	اسفندماه ۱۳۹۰	اسفندماه ۱۳۹۰	ماه‌اسال	W ۱۲
درصد فراوانی نسبی	۵۰	۵۰	۵۰	۵۲	۵۳		
۱.۶۸	۱.۶۹	۱.۶۸	۱.۷۴	۱.۷۴	۱.۸۴	شدیدترین مقدار SWI	اراضی مرکید
شهریورماه ۱۳۹۰	آذرماه ۱۳۹۰	اسفندماه ۱۳۹۰	شهریورماه ۱۳۹۰	اسفندماه ۱۳۹۰	اسفندماه ۱۳۹۰	ماه‌اسال	W ۱۳
درصد فراوانی نسبی	۶۱	۶۱	۶۰	۶۰	۶۱		
۲.۶۲	۲.۷۹	۲.۶۹	۲.۸۲	۲.۷	۲.۵	شدیدترین مقدار SWI	قراجه محمد
شهریورماه ۱۳۹۰	آذرماه ۱۳۹۰	اسفندماه ۱۳۹۰	شهریورماه ۱۳۹۰	اسفندماه ۱۳۹۰	اسفندماه ۱۳۹۰	ماه‌اسال	W ۱۴
درصد فراوانی نسبی	۳۹	۳۹	۴۰	۴۰	۴۴		
۲.۵	۲.۵۳	۲.۵۵	۲.۵	۲.۵۷	۲.۴۴	شدیدترین مقدار SWI	ساری تپه
مردادماه ۱۳۸۱	ایان ماه ۱۳۸۱	پهن‌ماه ۱۳۸۱	شهریورماه ۱۳۸۱	اسفندماه ۱۳۸۱	اسفندماه ۱۳۸۲	ماه‌اسال	W ۱۵
درصد فراوانی نسبی	۳۵	۳۵	۳۶	۳۷	۳۵		
۲.۵۷	۲.۳۴	۲.۱۸	۱.۹۳	۲.۰۶	۲.۱۴	شدیدترین مقدار SWI	محمد قاطران
شهریورماه ۱۳۸۸	پهن‌ماه ۱۳۹۰	اسفندماه ۱۳۹۰	دی‌ماه ۱۳۹۰	اسفندماه ۱۳۹۰	اسفندماه ۱۳۹۰	ماه‌اسال	W ۱۶
درصد فراوانی نسبی	۵۰	۴۶	۴۷	۵۰	۴۸		
۱.۶۸	۱.۷۳	۱.۷۵	۱.۸۲	۱.۸۲	۲	شدیدترین مقدار SWI	محمد گله بان
فروردین‌ماه ۱۳۹۰	آذرماه ۱۳۹۰	اسفندماه ۱۳۹۰	شهریورماه ۱۳۹۰	اسفندماه ۱۳۹۰	اسفندماه ۱۳۹۰	ماه‌اسال	W ۱۷
درصد فراوانی نسبی	۵۲	۵۵	۵۱	۵۵	۴۸		
۲.۰۵	۲.۰۳	۲.۰۳	۲.۲	۲.۱۶	۲	شدیدترین مقدار SWI	قرخلار
شهریورماه ۱۳۹۰	آذرماه ۱۳۹۰	اسفندماه ۱۳۹۰	شهریورماه ۱۳۹۰	اسفندماه ۱۳۹۰	اسفندماه ۱۳۹۰	ماه‌اسال	W ۱۸
درصد فراوانی نسبی	۵۷	۵۶	۵۵	۵۷	۵۳		
۱.۶۶	۱.۷۵	۱.۸۱	۱.۸۳	۱.۸۵	۱.۹۵	شدیدترین مقدار SWI	یامچی
شهریورماه ۱۳۹۰	آذرماه ۱۳۹۰	اسفندماه ۱۳۹۰	شهریورماه ۱۳۹۰	اسفندماه ۱۳۹۰	اسفندماه ۱۳۹۰	ماه‌اسال	W ۱۹
درصد فراوانی نسبی	۵۸	۵۶	۵۷	۵۷	۴۸		
۱.۱۴	۱.۱۸	۱.۲۸	۱.۲۷	۱.۳۶	۱.۴۹	شدیدترین مقدار SWI	اراضی یامچی
شهریورماه ۱۳۸۰	آذرماه ۱۳۸۵	اسفندماه ۱۳۸۵	شهریورماه ۱۳۸۶	اسفندماه ۱۳۸۵	اسفندماه ۱۳۸۷	ماه‌اسال	W ۲۰
درصد فراوانی نسبی	۷۶	۷۵	۷۰	۷۱	۶۱		
۱.۸۷	۱.۷۵	۱.۸۵	۱.۷۶	۱.۸۴	۱.۷۶	شدیدترین مقدار SWI	شرق گله بان
فروردین‌ماه ۱۳۹۰	آذرماه ۱۳۹۰	اسفندماه ۱۳۹۰	شهریورماه ۱۳۹۰	اسفندماه ۱۳۹۰	اسفندماه ۱۳۹۰	ماه‌اسال	W ۲۱
درصد فراوانی نسبی	۵۸	۶۰	۶۳	۶۳	۶۱		
۱.۵۶	۱.۵۶	۱.۶۱	۱.۶۶	۱.۶۶	۱.۷۸	شدیدترین مقدار SWI	قمیش اغل
شهریورماه ۱۳۸۸	آذرماه ۱۳۹۰	اسفندماه ۱۳۹۰	شهریورماه ۱۳۹۰	اسفندماه ۱۳۹۰	اسفندماه ۱۳۹۰	ماه‌اسال	W ۲۲
درصد فراوانی نسبی	۵۷	۵۹	۵۸	۵۸	۶۱		
۲.۰۲	۲.۱۲	۲.۱۵	۲.۲	۲.۳۳	۲.۱	شدیدترین مقدار SWI	چر چر
شهریورماه ۱۳۸۱	آذرماه ۱۳۸۱	اسفندماه ۱۳۸۱	اسفندماه ۱۳۸۱	اسفندماه ۱۳۸۱	اسفندماه ۱۳۸۲	ماه‌اسال	W ۲۳
درصد فراوانی نسبی	۶۱	۵۸	۵۷	۵۲	۵۸		

در این بخش ابتدا مقادیر سالانه خشکسالی هواشناسی و آب زیرزمینی جهت تشخیص پهنه‌های درگیر خشکسالی در حوضه آبریز مرند و همچنین دشت مرند، در نرم‌افزار GIS ترسیم گردید. شکل ۵ و ۶ مقادیر سالانه خشکسالی را نشان می‌دهد. با توجه به نقشه‌های پهنه‌بندی خشکسالی هواشناسی می‌توان چنین استنباط نمود که در شرق حوضه نسبت به دیگر مناطق حوضه بیشتر در معرض خشکسالی‌های شدید قرار دارد. به‌طوری‌که در خشکسالی‌های فراگیر سال‌های ۱۳۸۰ و ۱۳۸۷، شدیدترین خشکسالی‌ها در منطقه شرقی حوضه آبریز مرند رخ داده است. شناخت پهنه‌های درگیر خشکسالی می‌تواند به برنامه‌ریزی جهت مدیریت خشکسالی کمک نماید. با توجه به نتایج شکل ۵ و همچنین با توجه به هدف این پژوهش مشاهده می‌شود که از سال ۱۳۸۰ که داده‌های آب زیرزمینی موجود بوده تا سال ۱۳۹۰، دو دوره متمایز ترسالی و خشکسالی رخ داده است. طی سال‌های ۱۳۹۲ تا ۱۳۸۴ بارندگی بالاتر از نرمال در منطقه رخ داده است و از سال ۱۳۸۵ به خصوص خشکسالی فراگیر ۱۳۸۷ تا پایان دوره آماری، یک دوره خشکسالی در منطقه حاکم بوده است. خشکسالی فراگیر در منطقه به‌صورت محسوس بر سطح ایستابی آب زیرزمینی دشت مرند تأثیر گذاشته و با توجه به نتایج اشکال ۷ و ۸ این تغییرات قابل مشاهده می‌باشد.

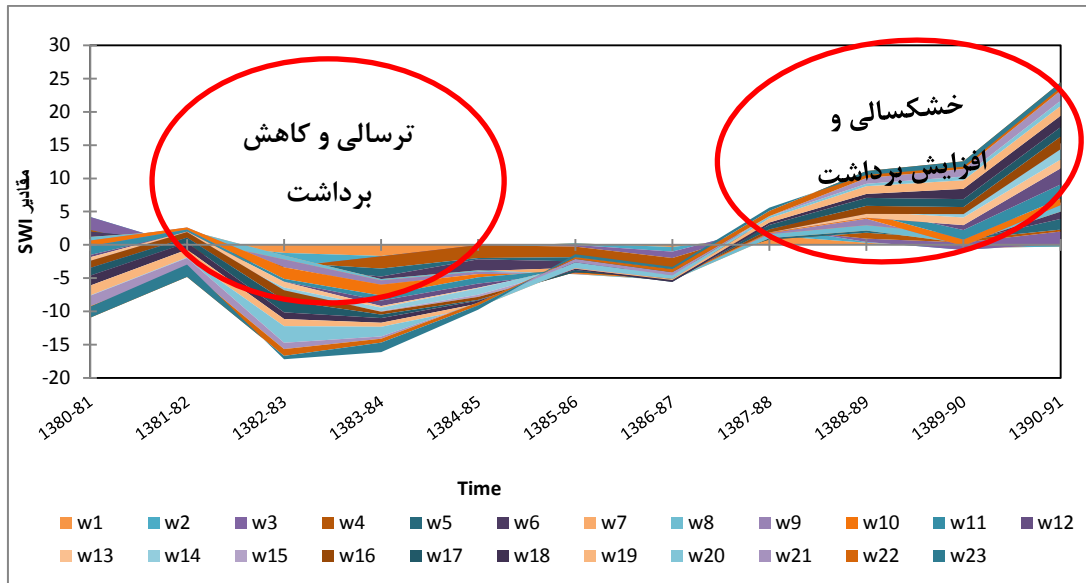


شکل ۵: سری زمانی خشکسالی هواشناسی در حوضه آبریز مرند

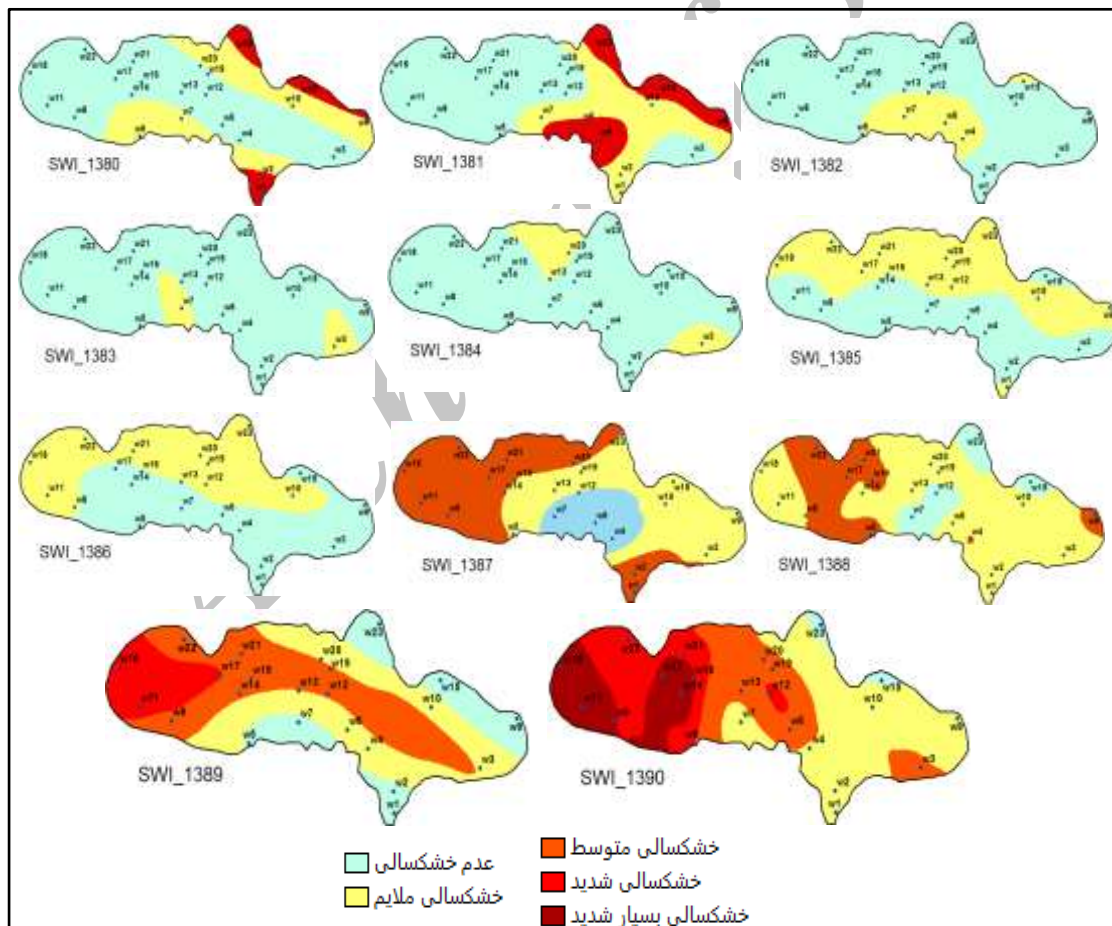


شکل ۶: نتایج پهنه‌بندی SPI سالانه

نتایج به‌دست آمده در شکل ۷ و ۸ نشان می‌دهد که سطح ایستابی در دشت مرنده تحت تأثیر خشکسالی هواشناسی و کاهش بارندگی در منطقه می‌باشد. به‌طوری‌که در شکل ۷ نتایج سری زمانی خشکسالی سالانه با استفاده از شاخص SWI نشان‌دهنده پایداری سطح آب زیرزمینی در دوره زمانی ۱۳۸۲ تا ۱۳۸۴ در اثر بارندگی مناسب در منطقه و روند افزایش برداشت از سال ۱۳۸۷ در اثر بروز خشکسالی شدید در منطقه تا پایان دوره آماری می‌باشد. در شکل ۷ جهت نشان دادن تغییرات سطح ایستابی و شناخت بهتر سال‌های مشترک خشکسالی در تمامی چاه‌های پیژومتری از نمودار Stacked Area در محیط اکسل استفاده شد که مقادیر SPI را بزرگ‌تر و با اغراق بیشتری نشان می‌دهد.



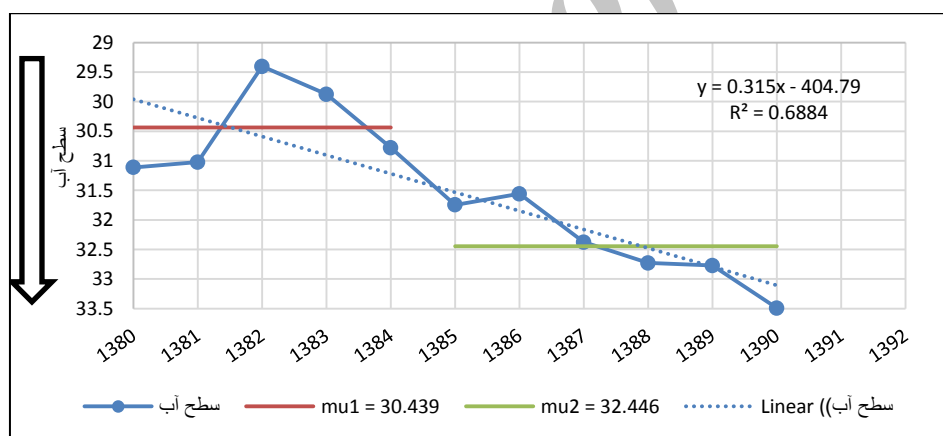
شکل ۷: سری زمانی خشکسالی آبهای زیرزمینی در دشت مرن



شکل ۸: نتایج پهنه‌بندی SWI سالانه

همان‌طور که در شکل ۸ مشخص می‌باشد، نتایج خشکسالی سالانه آب‌های زیرزمینی در محیط GIS به صورت پهنه‌بندی جهت شناخت مناطق مستعد خشکسالی ترسیم گردید. با توجه به تأثیر غیرمستقیم و همراه با تأخیر زمانی بارندگی بر سطح ایستابی مشخص شد که در دوره‌هایی که بارندگی در منطقه مناسب بوده است روند برداشت از آبخوان کم و در سال‌های ۸۷-۱۳۸۶ که خشکسالی شدید در منطقه رخ داده است، روند افزایش برداشت از آبخوان که خروجی آبخوان نیز می‌باشد، افزایش یافته و تا پایان دوره آماری با توجه به جبران نشدن نیاز آبی منطقه توسط بارندگی این روند ادامه دارد.

به‌طور کلی با بررسی نقشه‌های سالانه شاخص‌های بارش استاندارد و سطح آب استاندارد می‌توان چنین استنباط نمود که روند تغییرات سطح ایستابی آب‌های زیرزمینی با تغییرات خشکسالی و ترسالی هواشناسی در منطقه هم‌خوانی داشته، بنابراین افت سطح ایستابی دشت مرند می‌تواند تا حدود زیادی تحت تأثیر خشکسالی هواشناسی باشد و با توجه به این نتیجه افزایش برداشت از سفره‌های آب زیرزمینی در طی دوره آماری مورد مطالعه، جهت جبران کم‌آبی رخ داده است. از ویژگی‌های بارز دشت مرند وجود دو فصل بارشی متفاوت طی سال است. یک دوره مرطوب که از اواسط بهمن آغاز شده و تا اواخر اردیبهشت ادامه دارد و یک دوره خشک که در بقیه سال به چشم می‌خورد. انطباق فصل خشک با دوره رویش گیاهان زراعی، مصرف آب به‌منظور جبران نیاز آبی گیاهان را ضروری می‌کند. این کمبود عمدتاً از منابع آب زیرزمینی جبران می‌شود. افزایش برداشت طی سال‌های اخیر و به‌طور محسوس بعد از وقوع خشکسالی‌های هواشناسی در منطقه، تعادل بین ورودی و خروجی دشت به‌هم‌خورده و کاهش ذخیره مخزن را سبب گردیده است (شکل ۹).



شکل ۹: هیدروگراف سالانه آب زیرزمینی دشت مرند (سال‌های ۱۳۸۰-۹۰)

با توجه به هیدروگراف سالانه سطح ایستابی در آبخوان دشت مرند در شکل ۹، می‌توان روند سطح ایستابی آب‌های زیرزمینی در این منطقه را به دو دوره متفاوت، قبل و بعد از خشکسالی هواشناسی شدید و فراگیر ۱۳۸۷ تقسیم نمود. خشکسالی هواشناسی سال ۱۳۸۷ در واقع از سال ۱۳۸۵ شروع شده و در این سال به‌صورت فراگیر در کل منطقه اتفاق افتاده است. هیدروگراف سالانه آب زیرزمینی به‌خوبی تأثیر بارندگی بر سطح ایستابی را نشان می‌دهد و نسبت به بارندگی واکنش نشان داده است. با توجه به اینکه، افزایش اعداد سطح ایستابی نشان‌دهنده کاهش آب در چاه‌های پیژومتری می‌باشند، می‌توان اختلاف سطح آب را قبل و بعد از خشکسالی ۱۳۸۷ به میزان ۲ متر ارزیابی نمود. رگرسیون خطی بین سطح آب زیرزمینی و طول دوره آماری با مقدار $R^2 = 0.69$ برآورد شده است که روند کاهشی آب زیرزمینی در دشت مرند را توجیه می‌کند.

در ادامه جهت تعیین ارتباط بین بارش‌های ماهانه و نوسانات ماهانه سطح آب زیرزمینی دشت مرند، ضرایب همبستگی بین این دو پارامتر محاسبه شد (جدول ۴). در بررسی همبستگی‌ها مشخص شد که تأثیرپذیری سطح آب زیرزمینی از خشکسالی به صورت همزمان دارای ضرایب همبستگی و سطح اطمینان پایینی می باشد. از جمله دلایل ضعیف بودن ضریب همبستگی بین بارش و سطح آب زیرزمینی به صورت همزمان، به طور کلی می توان به دو دلیل اشاره نمود: نخست اینکه آب ناشی از نزولات جوی دارای یک تأخیر زمانی برای رسیدن به لایه‌های منابع آب زیرزمینی است و دوم اینکه تأثیر عوامل انسانی مانند برداشت از آب زیرزمینی با میزان بارش ماهانه دارای آهنگ منظمی نمی باشد (محمدی و همکاران، ۱۳۹۱). ضرایب همبستگی بین سطح آب زیرزمینی و بارش‌های یک تا ۷ ماه قبل در نرم افزار SPSS به دست آمد. جهت برآورد همبستگی ابتدا ماه مربوط به خشکسالی هواشناسی با همان ماه مربوط به خشکسالی آب زیرزمینی روبروی هم قرار گرفته که با مشاهده عدم همبستگی همزمان می بایست ماه‌های جلوتر مربوط به خشکسالی آب زیرزمینی مورد آزمایش قرار گیرد. این روند تا زمانی که بالاترین همبستگی به دست آید ادامه پیدا کرد و در نهایت نتایج همبستگی در جدول (۴) ارائه شده است. ضرایب به دست آمده نشان دهنده این است که بین بارش پنج ماه قبل و سطح آب زیرزمینی بالاترین ضریب همبستگی وجود دارد که این همبستگی در سطح خطا (معنی داری) ۱ درصد معنی دار است.

جدول ۴: ضرایب همبستگی بین بارش‌های ماهانه و سطح آب زیرزمینی

بارندگی ماهانه	بارندگی ماهانه	بارندگی ماهانه	بارندگی ماهانه	بارندگی ماهانه	بارندگی ماهانه	بارندگی ماهانه	بارندگی ماهانه
همزمان	یک ماه قبل	دو ماه قبل	سه ماه قبل	چهار ماه قبل	پنج ماه قبل	شش ماه قبل	بارندگی ماهانه
۰/۱۹۹*	۰/۲۴۴**	۰/۲۹۰*	۰/۶۳۵*	۰/۷۱۲**	۰/۷۲۰**	۰/۶۶۷**	بارندگی ماهانه
۱۲۱	۱۲۱	۱۲۱	۱۲۱	۱۲۱	۱۲۱	۱۲۱	تعداد مشاهدات

*، ** به ترتیب معنی داری در سطح ۱ و ۵ درصد

نتیجه گیری

شاخص‌های SPI و SWI این امکان را به وجود می آورد که در یک دوره ثابت از اطلاعات محاسبه شده به وسیله این شاخص -ها، زمان شروع و پایان خشکسالی‌های هواشناسی و آب‌های زیرزمینی و همچنین شدت، مدت و فراوانی خشکسالی‌ها محاسبه شود. این مطلب در مطالعات Hayes و همکاران (۱۹۹۸) در آمریکا و Bhuiyan و همکاران (۲۰۰۶) نیز به انجام رسیده است. نقشه‌های پهنه‌بندی خشکسالی (اشکال ۵ و ۸) که با استفاده از مقادیر SPI و SWI در محیط Arc Gis به دست آمد نشان داد که خشکسالی‌های هواشناسی با توجه به مشخصات خشکسالی‌ها، از نظر مکانی دارای روند مشخصی نمی باشند در حالی که خشکسالی‌های آب‌های زیرزمینی به صورت تصادفی در منطقه رخ نداده و تمرکز آن‌ها در نقاط مشخص از آبخوان که دارای تنش‌های بارشی و انسانی (از نظر برداشت بی‌رویه و بیش از حد مجاز) می باشند، ایجاد شده است. با توجه به اینکه افزایش برداشت از سفره‌های آب زیرزمینی جهت جبران کمبود بارش و نیاز آبی منطقه بوده است، می توان رابطه خشکسالی هواشناسی بر کاهش سطح آب زیرزمینی در دشت مرند را توجیه نمود و با توجه به نتایج به دست آمده، تأخیر زمانی این رابطه می تواند در مدیریت بحران و مدیریت ریسک در آینده بسیار مفید باشد. این موضوع با مطالعات ایمانی و اسفندارانی (۱۳۹۰) و پورمحمدی و همکاران (۱۳۹۶) مطابقت دارد.

در ایجاد همبستگی و ارتباط بین بارش و افت سطح ایستابی، بهترین همبستگی آن‌ها، ۰/۷۲- با تأخیر زمانی ۵ ماهه است که در سطح ۱ درصد معنی دار بوده و تأثیرپذیری منابع آب زیرزمینی دشت مرند را با یک تأخیر ۵ ماهه نمایان

می‌کند. شمسی‌پور (۱۳۸۲) در دشت همدان به یک تأخیر ۹ ماهه بین بارش و سطح ایستابی و دست‌یافت. همچنین ملکی نژاد و سلیمانی مطلق (۱۳۹۰) با استفاده از دو شاخص SWI و SPI در حوضه چغلوئندی، به تأخیر زمانی یک‌ساله. محمدی‌قلعه‌نی و همکاران (۱۳۹۱) در دشت ساوه به تأخیر ۵ ماهه به نتایج مشابهی دست یافتند و محمدی و همکاران (۱۳۹۱) در دشت اراک، تأثیرپذیری منابع آب زیرزمینی از خشکسالی را با یک تأخیر دو ماهه بدست آوردند. هرچند عامل آب و هوایی بیشترین تأثیر را در افت سطح ایستابی طی سال‌های اخیر داشته، ولی این بحران حاصل مجموعه عواملی از جمله برداشت‌های بی‌رویه است که خود معلول خشکسالی هواشناسی می‌باشد؛ بنابراین چون روند تغییرات سطح ایستابی با تغییرات خشکسالی هم‌خوانی دارد، می‌توان نتیجه گرفت که افت سطح ایستابی دشت مرند عمدتاً تحت تأثیر خشکسالی می‌باشد.

به نظر می‌رسد پایش مداوم وضعیت خشکسالی و نظارت قوی بر میزان برداشت، به‌ویژه در خشکسالی‌های شدید و طولانی، برای جلوگیری از افت شدید سطح آب‌های زیرزمینی در دشت مرند امری بسیار ضروری است. این امر می‌تواند با بهینه‌سازی در مصرف آب در بخش‌های مختلف، به‌ویژه کشاورزی انجام شود. همچنین در بخش کشاورزی با توجه به اینکه آب موردنیاز آبیاری در این دشت اکثر از منابع آب زیرزمینی است، استفاده از سیستم آبیاری قطره‌ای در کمک به کاهش افت سطح ایستابی مؤثر می‌باشد. همچنین پیشنهاد می‌شود که در خشکسالی‌ها (به‌ویژه با تأخیر زمانی ۵ ماهه بر منابع آب زیرزمینی دشت مرند) نسبت به میزان و نوع برداشت از آب‌های زیرزمینی هشدارها و تمهیدات لازم به عمل آید.

منابع

- احمدی آخورمه، مریم؛ احمد نوحه‌گر، مهدی سلیمانی مطلق و مجید طایب‌سمیرمی. ۱۳۹۴. بررسی خشکسالی آب زیرزمینی با استفاده از شاخص‌های SWI و GRI در آبخوان محدوده مطالعاتی مرودشت خرامه استان فارس. *فصلنامه علمی پژوهشی مهندسی آبیاری و آب*، سال ششم، ۲۱: ۱۰۵-۱۱۷.
- ایمانی، مهناز و علی طالبی اسفندارانی. ۱۳۹۰. بررسی آثار خشکسالی بر تغییرات سطح سفره آب زیرزمینی دشت بهاباد یزد با استفاده از شاخص‌های SPI، GRI، چهارمین کنفرانس مدیریت منابع آب/ایران، تهران، دانشگاه صنعتی امیرکبیر.
- بختیاری عنایت، بهرام؛ آرش ملکیان و علی سلاجقه. ۱۳۹۴. آنالیز همبستگی پایه زمانی و تأخیر زمانی بین خشکسالی اقلیمی و خشکسالی آب‌شناختی دشت هشتگرد. *تحقیقات آب و خاک/ایران*، شماره ۴، ۴۶: ۶۰۹-۶۱۶.
- پورمحمدی، سمانه؛ محمدتقی دستورانی، هادی جعفری، علیرضا مساح بوانی، مسعود گودرزی، فاطمه باقری و محمدحسین رحیمیان. ۱۳۹۶. بررسی اثرات خشکسالی هواشناسی و هیدروژئولوژیکی بر بیلان آب زیرزمینی دشت تویسرکان. *مهندسی و مدیریت آبخیز*، ۹: ۵۷-۴۶.
- رضیئی، طیب؛ پیمان دانش کارآراسته، روح‌انگیز اختری و بهرام ثقفیان. ۱۳۸۶. بررسی خشکسالی‌های هواشناسی در استان سیستان و بلوچستان با استفاده از نمایه SPI و مدل زنجیره مارکف. *تحقیقات منابع آب/ایران*، ۳۵: ۳-۲۵.
- زینالی، بتول؛ مجتبی فریدپور و صیاد اصغری سراسکانرود. ۱۳۹۶. بررسی تأثیر خشکسالی هواشناسی و هیدرولوژیکی بر ویژگی‌های کمی و کیفی آب‌های زیرزمینی (مطالعه موردی دشت مرند). *مدیریت حوزه آبخیز*، ۱۴: ۱۷۷-۱۸۷.
- ساری، الهه. ۱۳۹۰. *پایش خشکسالی هواشناسی به روش SPI و تأثیر آن بر کشت گندم دیم در استان آذربایجان شرقی*. پایان‌نامه کارشناسی ارشد. دانشکده علوم انسانی و اجتماعی. دانشگاه تبریز.

- قلی زاده، محمدحسین. ۱۳۸۳. پیش‌بینی و پیش‌آگاهی خشکسالی در غرب ایران. پایان‌نامه دکتری اقلیم‌شناسی. دانشگاه تربیت معلم تهران. تهران.
- کریمی، مهشید؛ کاکا شاهی و خهبات خسروی. ۱۳۹۵. بررسی خشکسالی هواشناسی و هیدرولوژیکی با استفاده از شاخص‌های خشکسالی در حوضه آبخیز قره‌سو. فیزیک زمین و فضا، (۱) ۴۲: ۱۷۰-۱۵۹.
- محمدی قلعه‌نی، مهدی؛ کیومرث ابراهیمی و شهاب عراقی نژاد. ۱۳۹۱. ارزیابی تأثیر عوامل آب و هوایی بر افت منابع آب زیرزمینی (مطالعه موردی: آبخوان دشت ساوه). مجله دانش آب و خاک، (۲) ۲۱: ۹۳-۱۰۸.
- محمدی، حسین مراد؛ علی‌اکبر شمسی‌پور. ۱۳۸۲. تأثیر خشکسالی‌های اخیر در افت منابع آب‌های زیرزمینی دشت‌های شمال همدان. فصلنامه پژوهش‌های جغرافیایی، ۴۵: ۱۳۰-۱۱۵.
- ملکی نژاد، حسین؛ مهدی سلیمانی مطلق. ۱۳۹۰. بررسی شدت خشکسالی‌های هواشناسی و هیدرولوژیکی در حوضه چغلوندی. مجله پژوهش آب ایران، (۹) ۵: ۷۲-۶۱.
- محمدی، محسن؛ حمیدرضا مرادی و مهدی وفاخواه. ۱۳۹۱. توزیع مکانی و ارتباط بین خشکسالی‌های هواشناسی و آب‌های زیرزمینی در دشت اراک. فصلنامه جغرافیایی طبیعی، (۵) ۱۵: ۸۴-۷۷.
- محمد نیا قرایی؛ سهراب، ناصر جاودانی خلیفه، سهیلا جوانمرد، لیلی خزانه‌داری و محمود خسروی. ۱۳۷۹. بررسی شاخص ارزیابی و امکان‌سنجی کاربرد شاخص شدت خشکسالی پالم در ایران. مجموعه مقالات کنفرانس خشکسالی کرمان.
- Bhuiyan, C.; R. P. Singh, and F.N. Kkogan. ۲۰۰۶. Monitoring Drought Dynamics in the Aravalli Region (India) using Different Indices based on Ground and Remote Sensing data. International Journal of Applied Earth Observation and Geoinformation, ۸: ۲۸۹-۳۰۲. DOI ۱۰.۱۰۱۶/j.jag.۲۰۰۶.۰۳.۰۰۲.
- Bogdan, B.; K. Kubiak-Wójcicka. ۲۰۱۷. Impact of meteorological drought on hydrological drought in Toruń (central Poland) in the period of ۱۹۷۱-۲۰۱۵. Journal of Water and Land Development. No. ۳۲ p. ۳-۱۲. DOI: ۱۰.۱۵۱۵/jwld-۲۰۱۷-۰۰۰۱.
- Ekrami, M., H. Malekinezhad., and M. R. Ekhtesasi. ۲۰۱۳. Evaluation of Meteorological drought and Hydrological Drought Impacts on Ground Water Resource. Iran-Watershed Management Science & Engineering. ۷ (۲۰).
- Ezzine, H.; A. Bouziane, and D. Quasar. ۲۰۱۴. Seasonal comparisons of meteorological and agricultural drought indexes in Morocco using open short time series data. Journal of Applied Earth Observation and Geo-Information. ۲۶, ۳۶-۴۸. DOI.org/۱۰.۱۰۱۶/j.jag.۲۰۱۳.۰۵.۰۰۵
- Khan, S.; H. F. Gabriel and T. Rana. ۲۰۰۸. Standard precipitation index to track drought and assess impact of rainfall on water tables in irrigation areas. Irrigation Drainage System. ۲۲: ۱۵۹-۱۷۷.
- Kogan, F. N. ۲۰۰۰. Contribution of remote sensing to drought early warning in early warning systems for drought preparedness and drought management, ed. D.A. Wilhite and D.A. Wood. ۷۵-۸۷. Geneva: World Meteorological Organization.
- Mckee B.T.; N. J. Doesken, and J. Kleist. ۱۹۹۳. The Relationship of Drought Frequency and Duration to Time Scales, ۸th Conference on Applied Climatology, Anaheim CA. American Meteorological Society, ۱۷-۲۲: ۱۷۹-۱۸۴.
- Peters, E.; P. J. J. F. Torfs, H. A. J, Van Lanen, and G. Bier. ۲۰۰۳. Propagation of drought through groundwater-a new approach using linear reservoir theory. Hydro Processes ۱۷: ۳۰۲۳-۳۰۴۰.
- Rossi. G. ۲۰۰۰. Drought mitigation measures: a comprehensive framework. In: Voght JV, Somma F (Eds) Drought and drought mitigation in Europe. Kluwer, Dordrecht.

Sahoo. R. N.; Dipanwita Dutta, M. Khanna, N. Kumar, S. K. Bandyopadhyay. ۲۰۱۰. Drought assessment in the Dhar and Mewat Districts of India using meteorological, hydrological and remote-sensing derived indices. *Natural Hazards*, ۷۷ (۲): ۷۳۳-۷۵۱. DOI ۱۰.۱۰۰۷/s۱۱۰۶۹-۰۱۵-۱۶۲۳-Z.

WMO (World Meteorological Organization). ۲۰۰۶. *Drought Monitoring and Early Warning: Concepts, Progress and Future Challenges*. WMO Publication–No. ۱۰۰۶. WMO, Geneva, Switzerland.

Archive of SID